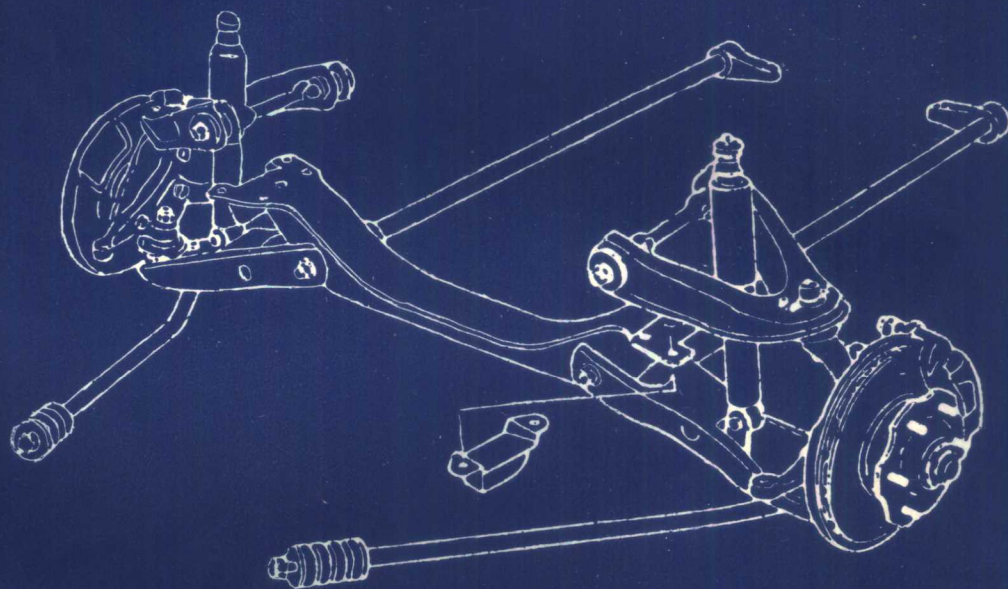


扭杆弹簧的设计和制造手册

盛景方 译



学术期刊出版社

CHINA JOURNAL PUBLISHERS

扭杆弹簧的设计和制造手册

盛景方 译

学术期刊出版社

内 容 提 要

本手册专为道路车 用的高效弹簧设计制造提供了资料，内容反映了当前的设计和制造工艺水平。

全书共分八章二十二节，包括设计计算基础，端部固定的设计，装配位置的控制，材料和加工，疲劳寿命分析，稳定杆设计应用举例等。可供扭杆弹簧的设计者、制造者和使用者参阅。

扭杆弹簧的设计和制造手册

盛景方 译

学术期刊出版社出版

(北京海淀区学院南路86号)

新华书店北京发行所发行

北京昌平县百善印刷厂排版印刷

787×1092毫米 16开本 3.5印张

1988年8月第1版 1988年8月第1次印刷

印数：0001—2600册

ISBN 7-80045-034-1/U·2

定价：2.20元

原 序

扭杆弹簧手册于1947年出版，1966年进行了重大修改，1981年的修订本按SAE弹簧手册全部米制化方案，在公式和计算中都采用SI单位(米制)。但其基本内容并未作过多的更动，只是某些章节根据本行业目前实际情况进行一些修改。如第六章扩充了关于疲劳寿命方面的内容，第七章除详细叙述了三个扭杆弹簧的应用实例外，还给出了横置扭杆弹簧的计算方法，第八章扩充了稳定杆的内容。

弹簧委员会希望本手册将证明比已获得广大读者认可的旧版本，对扭杆弹簧的设计、制造和使用的工程技术人员会更有价值、更有帮助。委员会愿意指出，象以往在介绍其他弹簧手册时所提到的那样，本手册并不是设计或制造规范的汇编，而是为解决所遇到的扭杆弹簧问题而提供一些重要的参考资料。

参加分委员会的成员们为撰写和编辑本书耗费了大量的时间和精力，弹簧委员会在此对他们深表谢意。

译 者 前 言

本手册包括有关汽车扭杆弹簧的设计、材料、工艺、疲劳寿命与应用等部分，并反映出当代汽车扭杆弹簧制造业的现状与水平，对从事本专业的的设计、制造等工程技术人员与相应科研人员均有一定参考价值，特此译出。我们相信它对提高我国汽车工业这一方面的水平会起一些作用。

原版于1947年出版，经过三十余年的应用与实践，原书不断得到修订、补充，逐渐臻于完善。本手册系按1981年原版译出。该版为最新版本，现已列为美国国家标准。

本文经史汝楫、何赐文、霍毓文等同志在百忙之中给予审校特表谢意。

由于译者水平所限，时间仓促，错误与不当之处在所难免，希广大读者能及时提出批评指正。

书号：ISBN 7-80045-034-1/U·2

定价：2.20元

目 次

第一章 引言	(1)
第二章 设计计算	(2)
1. 公式中所用的符号.....	(2)
2. 圆杆的扭转.....	(3)
3. 矩形杆的扭转.....	(4)
A. 实心矩形截面直杆.....	(4)
B. 叠片直杆.....	(4)
4. 扭杆弹簧和臂.....	(5)
5. 计算举例.....	(7)
A. 对圆杆的要求.....	(7)
B. 圆杆计算.....	(8)
C. 叠片杆计算.....	(10)
D. 方形截面叠片杆的计算.....	(10)
6. 工作应力.....	(11)
A. 悬架弹簧.....	(11)
B. 其他扭杆弹簧—700和550级.....	(12)
第三章 端部固定的设计	(13)
1. 端部形式.....	(13)
A. 花键端部连接.....	(13)
B. 六角形端部连接.....	(13)
2. 固定件.....	(14)
A. 花键式固定件.....	(14)
B. 六角形固定件.....	(14)
3. 过渡段.....	(15)
第四章 装配位置的控制	(18)
1. 保证车辆正确高度的方法.....	(18)
A. 用螺钉进行微调.....	(18)
B. 微步调整.....	(18)
C. 两端采用等数键齿.....	(18)
D. 两端采用缺齿花键.....	(19)
E. 可变高度系统.....	(19)
2. 扭转方向的标记.....	(19)
第五章 材料和加工	(20)

1. 一般要求	(20)
A. 材料	(20)
B. 剪切模数值	(20)
C. 锻锻和机械加工	(21)
D. 热处理	(22)
E. 矫直	(22)
F. 喷丸	(22)
G. 预调定	(23)
H. 防腐蚀	(23)
I. 特殊试验	(23)
2. 预调定	(24)
A. 载荷挠度曲线	(24)
B. 应力分布	(25)
C. 预调定应变的选择	(26)
第六章 疲劳寿命	(29)
第七章 扭杆弹簧的应用	(35)
1. 船艇挂车的方形扭杆	(35)
2. 载重汽车可翻驾驶室用的六角形扭杆	(36)
3. 载重汽车可翻驾驶室的叠片扭杆	(36)
4. 带整体式扭力臂的扭杆	(39)
第八章 稳定杆	(44)
1. 应用	(44)
2. 设计要素	(44)
3. 横摆刚度的计算	(44)
4. 应力	(47)
5. 设计举例	(48)
附录 国际单位制 (SI) 和美国惯用单位换算表	(49)

第一章 引言

扭杆弹簧被广泛用于各类装备上，从精密仪器、天平弹簧，到汽车和军用坦克的悬架弹簧。扭杆弹簧的设计在材料的有效利用（每单位弹簧材料体积所贮存的能量）、结构的复杂性，以及生产成本方面差别很大。本手册专为地面车辆用的高效弹簧的设计制造提供一些资料。不过，它也可用于其他用途的多种型式的扭杆弹簧上。

本手册修订版反映了当前的设计和制造工艺水平，并在全部定义、设计细节和规范方面都采用了国际米制单位。在国际单位制中，力不是以重力为定义的。因此，本手册按照国际单位制规定，千克(kg)只用作质量单位（代替磅-质量，或常衡制的磅），并以牛顿（N）作为力的单位（代替磅力），毫米（mm）作为长度单位。

第二章 设计计算

1. 公式中所用的符号

P = 作用于臂端并垂直于基准线的力 (图2.3), N

$P_{静}$ = 静载荷 (在悬架计算时用以代替 P), N

α = 当 P 作用时, 基准线与臂之间的夹角 (图2.3所示为正值), rad

$\alpha_{静}$ = $P_{静}$ 作用时的 α 角 (图2.1所示为正值), rad

β = 当载荷为零时, 基准线与臂之间的夹角 (图2.1所示为正值), rad

θ = 当 P 作用时的扭转角 ($=\alpha+\beta$), rad

$\theta_{静}$ = 当 $P_{静}$ 作用时的扭转角 ($\alpha_{静}+\beta$) (图2.1), rad

$\theta_{跳动}$ = 在最大工作载荷作用下, 臂处于跳动位置时的扭转角 ($=\alpha_{跳动}+\beta$) (图2.1), rad

d = 圆杆直径 (管杆外径), mm

d_i = 管杆内径, mm

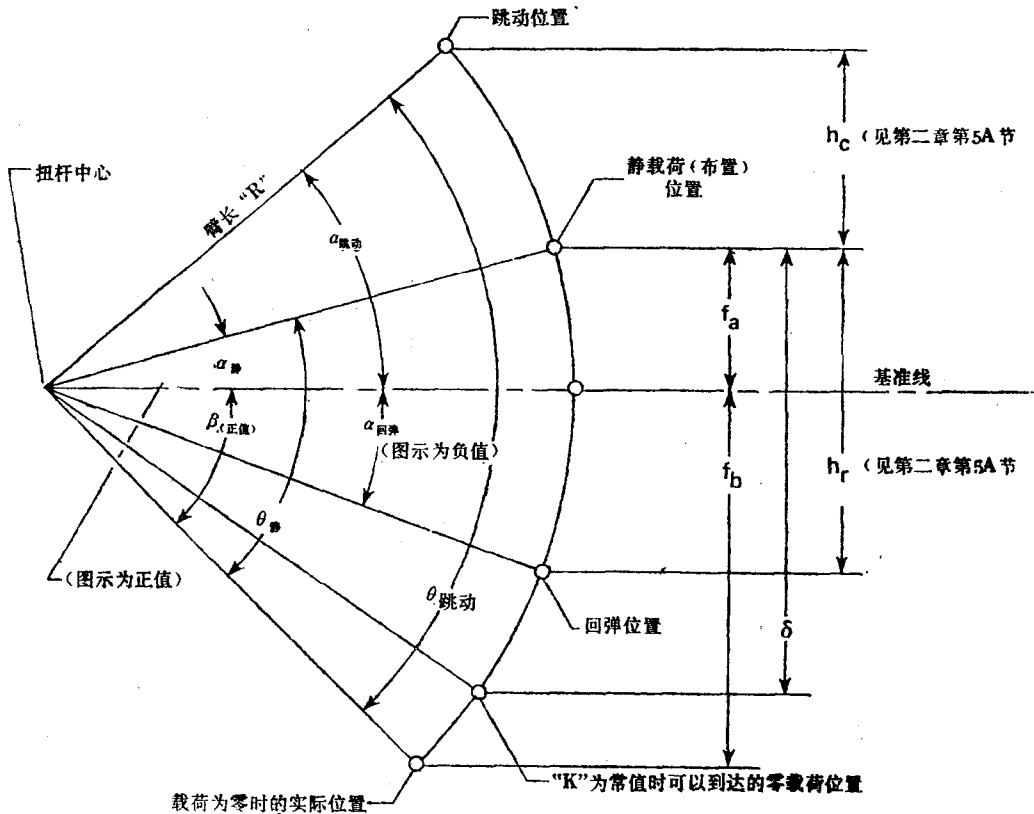


图2.1 臂端在各种载荷时的位置

d_{max} = 锥形杆大端直径, mm
 d_{min} = 锥形杆小端直径, mm
 t = 矩形或方形杆的高度, mm
 w = 矩形杆的宽度 (截面的长边), mm
 L = 杆的有效长度 (详见第三章第3节中的定义), mm
 R = 臂长 (图2.3), mm
 f = 当P作用时, 臂端距基准线的挠度; 按平行于P的方向 ($=R \cdot \sin\alpha$) 测定, 图2.3所示为正值, mm
 f_a = 当P静作用时, 臂端距基准线的挠度; 按平行于P静的方向 ($=R \cdot \sin\alpha$) 测定, 图2.3所示为正值, mm
 f_b = 零载荷时臂端到基准线的挠度; 按平行于P的方向 ($=R \cdot \sin\beta$) 测定, mm
 $f_a + f_b$ = 从零载荷位置到静载荷位置臂端的总静挠度; 按平行于P静的方向测定, mm
 δ = 臂端的有效静挠度, 等于载荷除以在该载荷下的弹簧刚度, mm
 T = 作用在杆上的力矩 ($=PR\cos\alpha$), N · mm
 k = 在平行于P的方向测定的臂端弹簧刚度 (变量), N/mm
 k_T = 杆的扭转弹簧刚度 ($=T/\theta$), N · mm/rad
 γ = 剪切应变
 G = 剪切模数 (见第五章第1节), MPa
 S_s = 剪切应力, MPa
 η_2 = 圣维南 (Saint Venant) 应力修正系数 (图2.2)
 η_3 = 圣维南刚性修正系数 (图2.2)
 C_1 = 载荷因数
 C_2 = 刚度因数
 C_3 = 静挠度因数

见第二章第4节的定义

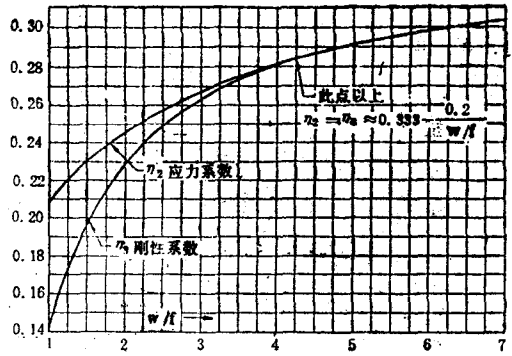


图2.2 矩形杆扭转时的圣维南(Saint Venant)系数

N_L = 叠片杆中的片数

2. 圆杆的扭转

表2.1所列计算公式适用于下列条件:

- 直杆;
- 均匀截面的实心圆杆、管状圆杆或实心圆锥形杆;
- 若为圆管, 其内外径同心;
- 只承受扭转载荷;
- 若为锥形杆, 其锥度为定值, d_x (在距直径为 $d_{m,i,n}$ 的端部X处) $= d_{m,i,n} + (d_{m,max} - d_{m,i,n}) \cdot X/L$.

当上述三种杆具有相同的扭转刚度 K_T 和相同的应力率 S_s/θ 时, 它们之间存在着下列关系:

① 三种杆的 L/d (实心锥形杆为 $L/d_{m,i,n}$) 比值相同。

② 实心圆杆的体积 (质量) 可改用其他两种杆形中之一来减少。

a) 管状圆杆对空间的要求大于实心圆杆, 因为 d 和 L 都要乘以下列系数:

$$\sqrt[3]{1/[1-(d_i/d)^4]}$$

可是上述空间的增加还是大于因 d_i 减小 (因而系数也减小) 而内部体积增大的值。

b) 对于实心锥形杆, 比值 $d_{m,max}/d_{m,i,n}$ 增

表2.1 圆杆扭转时的计算公式

量 值	符 号	圆 杆 形 状			单 位
		实心圆柱形	管状圆柱形	实心圆锥形	
扭 转 角	α	$\frac{32TL}{\pi d^4 G}$ $\frac{2S_s L}{dG}$	$\frac{32TL}{\pi d_i^4 G [1 - (d_i^4/d^4)]}$ $\frac{2S_s L}{dG}$	$\frac{32}{\pi G} \cdot \frac{TL}{\left[\frac{3D_o^2 d_o^2}{D_o^2 + D_o d_o + d_o^2} \right]}$	rad
扭 转 刚 度	k_T	$\frac{T}{\theta}$ $\frac{\pi d^4 G}{32L}$	$\frac{T}{\theta}$ $\frac{\pi d_i^4 G [1 - (d_i^4/d^4)]}{32L}$	$\frac{T}{\theta}$ $\frac{\pi G}{32L} \cdot \frac{3D_o^2 d_o^2}{D_o^2 + D_o d_o + d_o^2}$	N·mm/rad
应 力	S_s	$\frac{16T}{\pi d^3}$ $\frac{\theta d G}{2L}$	$\frac{16T}{\pi d_i^3 [1 - (d_i^4/d^4)]}$ $\frac{\theta d G}{2L}$	$\frac{16T}{\pi d_x^3}$ $\frac{\theta G}{2L d_x^3} \cdot \frac{3D_o^2 d_o^2}{D_o^2 + D_o d_o + d_o^2}$	MPa
应 力 率	S_s/θ	$\frac{dG}{2L}$	$\frac{dG}{2L}$	变化的	MPa/rad

加时, d_{max} 相对于实心圆杆 d 来说是增加了, 但 d_{min} 减小的百分数更大, 所以 L 减少了。结果是当比值 d_{max}/d_{min} 增大时, 实心锥形杆的体积总是变得较小。

$$\frac{S_s}{\theta} = \frac{\eta_s t G}{\eta_2 L}, \text{ MPa/rad}$$

3. 矩形杆的扭转

A. 实心矩形截面直杆

对于只承受扭转载荷的实心矩形截面直杆, 存在着下列关系式:

扭转角

$$\theta = \frac{TL}{\eta_s t^3 w G} = \frac{\eta_2 S_s L}{\eta_s t G}, \text{ rad}$$

扭转刚度

$$k_T = \frac{T}{\theta} = \frac{\eta_s t^3 w G}{L}, \text{ N·mm/rad}$$

应力

$$S_s = \frac{T}{\eta_2 t^2 w} = \frac{\eta_s \theta t G}{\eta_2 L}, \text{ MPa}$$

应力率

B. 叠片直杆

对只承受扭转载荷的叠片直杆 (N_L 片中的每一片都具有相同的矩形截面和长度, 并用同样的材料制造) 可用下列关系式:

$$k_T = \frac{\eta_s N_L t^3 w G}{L}$$

$$\frac{S_s}{\theta} = \frac{\eta_s N_L t G}{\eta_2 L}$$

当扭杆的 N_{L1} 片具有 t_1 厚度, w_1 宽度, T_1 扭矩, $\eta_{2,1}$ 和 $\eta_{s,1}$ 系数, N_{L2} 片具有 t_2 , w_2 , T_2 , $\eta_{2,2}$ 和 $\eta_{s,2}$ 及 N_{L3} 片……时:

扭转角

$$\theta = \frac{T_1 L}{\eta_{s,1} t_1^3 w_1 G} = \frac{\eta_{2,1} S_s L}{\eta_{s,1} t_1 G}$$

$$= \frac{T_2 L}{\eta_{s,2} t_2^3 w_2 G} = \frac{\eta_{2,2} S_s L}{\eta_{s,2} t_2 L}$$

依次类推

扭转刚度

$$k_T = \frac{T}{\theta} = N_{L1}k_{T1} + N_{L2}k_{T2} + \dots$$

$$= \frac{N_{L1}\eta_{s,1}t_1^3W_1G + N_{L2}\eta_{s,2}t_2^3W_2G + \dots}{L}$$

应力

$$S_s = \frac{\eta_{s,1}\theta t_1 G}{\eta_{2,1}L} = \frac{\eta_{s,2}\theta t_2 G}{\eta_{2,2}L}$$

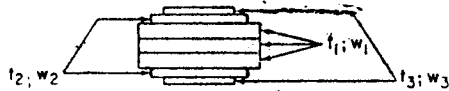
依次类推

应力率

$$\frac{S_s}{\theta} = \frac{\eta_{s,1}t_1 G}{\eta_{2,1}L} = \frac{\eta_{s,2}t_2 G}{\eta_{2,2}L}$$

依次类推

在实际应用中，叠片扭杆的尺寸可按如下法确定：设整个扭杆的扭转刚度为 k_T 并具有如下图所示的截面：



根据给定的数据，可以算出所有叠片都承受最大许用应力 $[S_s(\text{跳动})]$ ，各片都具有同样的有效长度 (L) 时的最大扭转角 $(\theta_{\text{跳动}})$ ，每片的最大许可厚度为：

$$t_{max} = \frac{\eta_2}{\eta_s} \times \frac{S_s(\text{跳动})L}{\theta_{\text{跳动}}G}$$

任一片厚度大于 t_{max} 的叠片都可能过载。

如各片的厚度都为 t_{max} ，则所有叠片都会扭至同一角度 $\theta_{\text{跳动}}$ ，并承受同样的最大应力，从而能组成最有效的弹簧，或者说重量最轻的弹簧。在大多数情况下，这是不现实的，对于叠片的厚度必须进行调整以获得所需的刚度。但应记住，要尽可能使应力接近于最大许用应力，以使弹簧重量降到最轻。

整个扭杆的扭转刚度为：

$$K_T = N_{L1}K_{T1} + N_{L2}K_{T2} + \dots + N_{Ln}K_{Tn}$$

通常这一结果与由下式（见第二章第4

节）计算出的期望值并不相符：

$$k_T = \frac{PR\cos\alpha}{\alpha + \beta}$$

如果经过用载荷挠度试验进行检查后，发现刚度太低，就应增加片数。若过高，则必须改用薄的叠片，或减小叠片的宽度。

应该记住，任何叠片的厚度都不得超过 t_{max} ，但都应尽可能接近这个厚度。只要是比值 $\eta_2/\eta_1=1$ ，叠片应力将不受宽度 (W) 改变的影响。在大多数实际应用中，即 $(W/t) > 3.5$ 时仍然如此。

因此，如果叠片的宽度并不要求采用现有商品的尺寸，改变 W 将是调整刚度的方便途径。

如果设计上允许改变扭杆的有效长度 (L) ，这也是调整刚度的一种办法；可是， L 影响应力，而且改变 L 时，整个计算需要重新进行。

4. 扭杆弹簧和臂

图2.3所示为经常用于悬架系统的扭杆弹簧和臂的组合。图中的挠度 f 及角度 α 和 β ，是从垂直于所加载荷并通过扭杆中心的基准线测量的。当其相对于基准线的关系如图2.3所示时为正值。

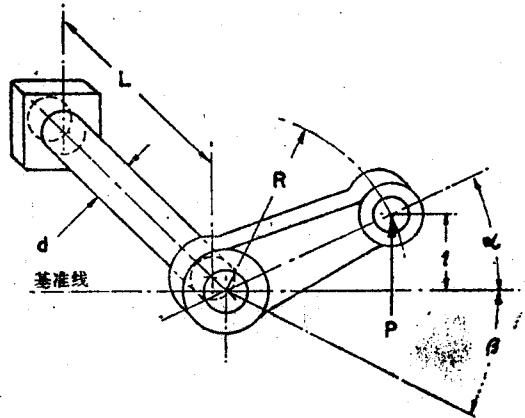


图2.3 扭杆弹簧和臂

这种机构的载荷挠度特性是非线性的，
并用下列各式计算出：

$$P = \frac{T}{R \cos \alpha}$$

$$k_T = \frac{T}{\theta}$$

$$\theta = \alpha + \beta$$

$$k_T = \frac{T}{\alpha + \beta}$$

$$P = \frac{k_T(\alpha + \beta)}{R \cos \alpha}$$

$$= \frac{k_T}{R} C_1 \left[C_1 = \frac{\alpha + \beta}{\cos \alpha} = \frac{\theta}{\cos \alpha} \right]$$

$$\frac{f}{R} = \sin \alpha$$

函数 C_1 对以比值 f/R 或 $\sin \alpha$ 作为横坐标的关系曲线绘于图 2.4 上。这组曲线代表臂端的载荷-挠度线图。

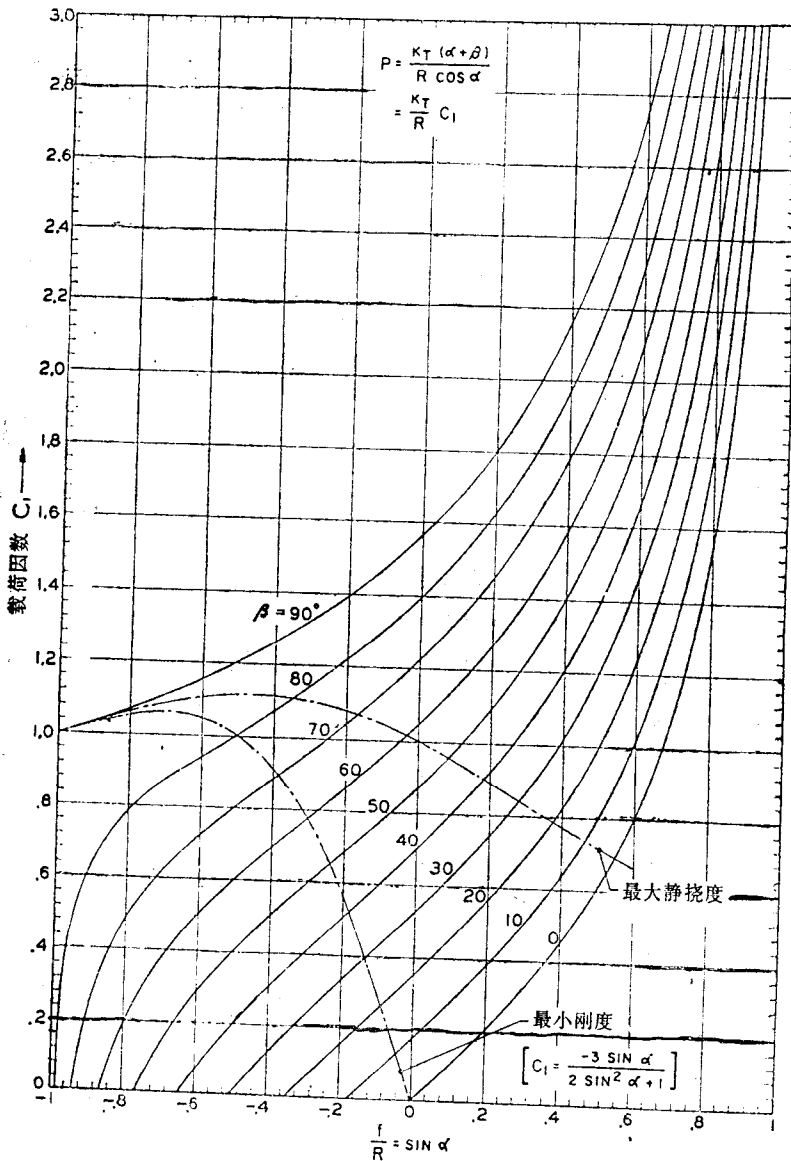


图 2.4 载荷因数与挠度的关系

当 $dk/df=0$ 或

$$C_1 = \frac{-3\sin\alpha}{2\sin^2\alpha + 1}$$

时, 刚度最小。

从线图上可见, 当 $\beta = -\alpha$ 时, C_1 等于零。

臂端的垂直刚度由 $k = dP/df$ 给出。利用上述的 P 值和关系式 $f = R\sin\alpha$, 可得:

$$P = \frac{k_T}{R} \times \frac{(\alpha + \beta)}{\cos\alpha}$$

$$\frac{dP}{d\alpha} = \frac{k_T}{R} \left[(\alpha + \beta) \frac{\tan\alpha}{\cos\alpha} + \frac{1}{\cos\alpha} \right]$$

$$\frac{dP}{d\alpha} = \frac{k_T}{R} \left[\frac{1 + (\alpha + \beta)\tan\alpha}{\cos\alpha} \right] \textcircled{1}$$

$$f = R\sin\alpha$$

$$\frac{df}{d\alpha} = R\cos\alpha$$

$$k = \frac{dP}{df} = \frac{dP}{d\alpha} \cdot \frac{d\alpha}{df}$$

$$= \frac{k_T}{R^2} \times \frac{1 + (\alpha + \beta)\tan\alpha}{\cos^2\alpha}$$

$$k = \frac{k_T}{R^2} \cdot C_2$$

$$C_2 = \frac{1 + (\alpha + \beta)\tan\alpha}{\cos^2\alpha}$$

图2.5为函数 C_2 对以比值 f/R 或 $\sin\alpha$ 作为横坐标的关系曲线。在图上可以看出, 这样的扭杆和臂的刚度决不是常值, 最小刚度发生在臂的中心线处于水平线以下的位置上。当 $f/R=0$ 时, 不论 β 为何值, $C_2=1.0$ 。

当 $dk/df=0$, 或当 $C_2=1/(2\sin^2\alpha+1)$ 且 $\sin\alpha$ 为负值时, 刚度最小。

在任何一点处的静挠度定义为 $\delta = P/k$ 。利用上面的数值, 静挠度

$$\delta = R \frac{\cos\alpha}{\frac{1}{\alpha + \beta} + \tan\alpha}$$

① 原文误为 $\frac{dP}{d\alpha} = \frac{k_T}{R} \left[\frac{1 - (\alpha + \beta)\tan\alpha}{\cos\alpha} \right]$ ——译者注

$$\delta = RC_3$$

$$C_3 = \frac{\cos\alpha}{\frac{1}{\alpha + \beta} + \tan\alpha}$$

以比值 f/R 或 $\sin\alpha$ 作为横坐标画出的函数 C_3 的曲线, 如图2.6所示。曲线表示垂直静挠度与从基准线算起的垂直挠度的对比。按照定义, 图2.6的横坐标值实际代表 $\sin\alpha$ 或 f/R 。

当 $dk/df=0$ 或 $C_3 = -3\sin\alpha$ 时, 刚度为最小。

从图上可见, 最小刚度、最大静挠度和 $\beta=90^\circ$ 的曲线都交于 $f/R = -1.0$ 或 $C_3 = 3.0$ 处。

附注: 在前述方程式中, 角度的单位以弧度 (rad) 表示。在图2.4~图2.6中, 角度 β 的单位为度 ($^\circ$), 但在用常数 C_1 和 C_2 计算载荷和刚度时, 扭转刚度必须以因次 $N \cdot mm/rad$ 来表示。角度和弧度的转换, 应按 $1rad = 57.296^\circ$ 换算。

5. 计算举例

A. 对圆杆的要求

要求根据下列给定数值, 确定轿车悬架的圆形截面扭杆弹簧的直径 (d) 和有效长度 (L):

静载荷: $P_{静} = 4000N$

静载荷时的刚度: $K = 16N/mm$

臂长: $R = 400mm$

静载荷时臂的位置: $\alpha_{静} = 7^\circ = 0.122rad$

从静载荷到跳动位置的挠度:

$$h_c = 100mm$$

从静载荷到回弹位置 (带回弹止位块)

的挠度: $h_r = 125mm$

静载时应力: $S_{s(静)} \leq 670MPa$

跳动位置时应力: $S_{s(跳动)} \leq 900MPa$

推荐应力值见第二章第6节。

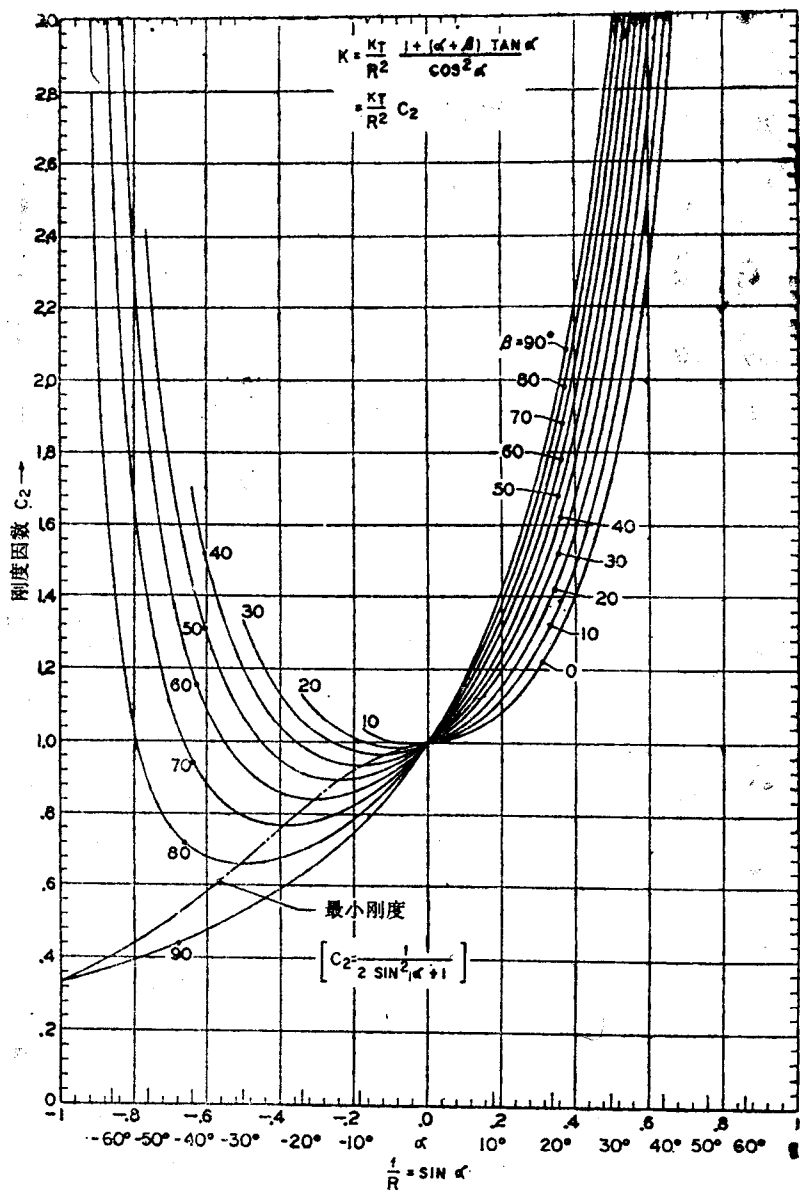


图2.5 刚度因素与挠度的关系曲线

B. 圆杆计算

静载荷时的有效静挠度 $\delta = 4000 / 16 = 250\text{mm}$ 。

所以, $C_s = \delta / R = 250 / 400 = 0.625$ 。

静载荷时臂端部在水平线以上的位置 (所有位置都表示在图2.1上):

$$f_s = R \sin \alpha_{\text{静}} = +0.122 \times 400 = +48.8\text{mm}$$

从图2.6或公式

$$C_s = 0.625 = \frac{\cos \alpha_{\text{静}}}{1 / (\alpha_{\text{静}} + \beta) + \tan \alpha_{\text{静}}}$$

$$= \frac{0.993}{1 / (0.122 + \beta) + 0.123}$$

$$\frac{1}{0.122 + \beta} = \frac{0.993}{0.625} - 0.123 = 1.466$$

$$\beta = \frac{1}{1.466} - 0.122 = 0.560\text{rad} = 32^\circ$$

在图2.5中, 当 $f_s / R = +0.122$ 和 $\beta = 32^\circ$

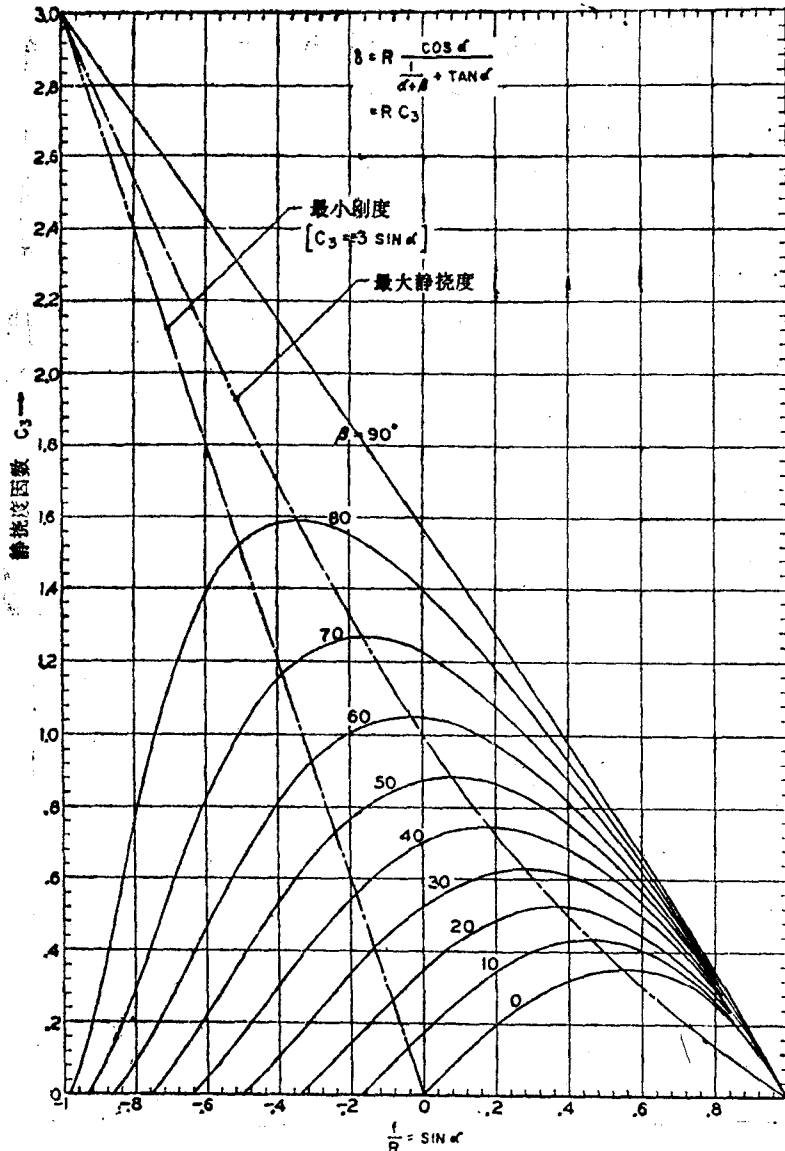


图2.6 静挠度因数与挠度的关系曲线

时, $C_2 = 1.10$.

$$\text{所以, } k_T = \frac{kR^2}{C_2} = \frac{16 \times 400^2}{1.10} = 2,327,000 \text{ N} \cdot \text{mm/rad.}$$

用图2.4或公式复核, 得:

$$P_{\text{静}} = \frac{k_T(\alpha_{\text{静}} + \beta)}{R \cos \alpha_{\text{静}}} = \frac{2,327,000(0.122 + 0.560)}{400 \times 0.993}$$

$$= 4000 \text{ N}$$

从下式可得出在跳动位置处臂的角度

$$\sin \alpha_{\text{跳动}} = \frac{f_s + h_r}{R} = \frac{48.8 + 100}{400} = 0.372$$

$$\alpha_{\text{跳动}} = +21.8^\circ = +0.38 \text{ rad}$$

在回弹位置时臂的角度可从下式得出:

$$\sin \alpha_{\text{回弹}} = \frac{f_s - h_r}{R} = \frac{48.8 - 125}{400}$$